

III-262 砂質地盤に打設した鉛直アンカーの引抜き特性

東京都第六建設事務所 正会員 山田信夫
東京都第六建設事務所 墓ヶ平定由
ライト工業株式会社 鈴木和夫

1.はじめに 東京都では、石神井川護岸補強工事の一環として、永久的なアンカーワーク法を採用した。ところが、洪積砂質土層に打設したアンカーの引張・引抜き挙動特性に関する資料は少なく、設計上不明の点も多かった。そこで試験用アンカーを打設し、その引抜き過程における挙動を調べた。その結果、摩擦型アンカーにおいてもアンカーワーク面摩擦抵抗の他に、アンカーワーク上部土のせん断特性に起因するとみられる引抜き抵抗力が存在すること、ある荷重を境にして、周辺地盤によるアンカーワークの拘束状態が変化することなどがわかった。

2. 試験 試験地の土質及びアンカーワーク打設断面を図-1に示す。アンカーワークは上部1mが洪積砂層、下部1mが洪積砂礫層に入っている。アンカーワーク引張鋼材としてφ32mmのPC鋼棒(ゲビンデスター)を用い、定着長2.0m、非定着長は15.25m、アンカーワーク径φ135mmとした。アンカーワーク頭部変位はジャッキ頭部に軸対称に取り付けた2個の変位計により計測した。これらに引張鋼材には非定着部に1枚定着部に1.0m毎に3枚のストレインゲージを取り付け、その歪挙動を計測した。荷重はロードセル及びジャッキに取り付けた圧力変換器にて計測した。これら計測システムを図-2に示す。載荷方式は、初期荷重を5tとする繰返し載荷とし、各載荷サイクルの最大荷重は5tづつ増やした。計画最大試験荷重は鋼棒の降伏強度75.4tの約90%、則ち70tとした。

3. 試験結果及び考察 図-3は、繰返し載荷による、引張荷重-アンカーワーク頭部変位関係を示したものである。この中でOA曲線は測定された自由長部の歪を全自由長にわたって積分して得た自由長伸び量曲線であり、OB曲線はアンカーワークの歪と自由長の歪に基いて計算された引張鋼材全長にわたる伸び量曲線である。OA曲線は弾性論に基づいて得られる一般的な伸びの理論直線にほぼ等しく、OA曲線とOB曲線の間隔△εはアンカーワーク自身の伸び量を表わしている。また△εはアンカーワーク周辺地盤の変形やアンカーワークと周辺地盤との相対的ずれなどの塑性的変位を表わしている。図-4は自由長の弾性変位以外の変位、△ε+△εに対する△εの割合を示したものである。これによれば35%以下の荷重レベルでは、荷重の増加に伴ってこの割合は減少するが、35%以上の荷重レベルでは逆に増加し始める。このことは、35%以下においては、周辺地盤のアンカーワーク拘束効果が増加していくことを示しており、この原因としてアンカーワーク周辺地盤上の、アンカーワーク変位に伴う粒子再配列による相対密度の増加などが考えられる。また、35%以上の荷重で△εの割合が増加している原因としては、アンカーワークと周辺地盤

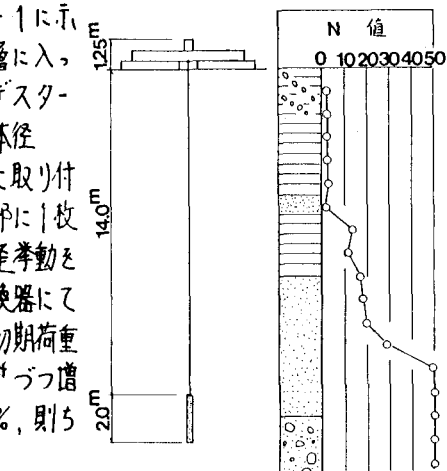


図-1. アンカーワーク打設断面

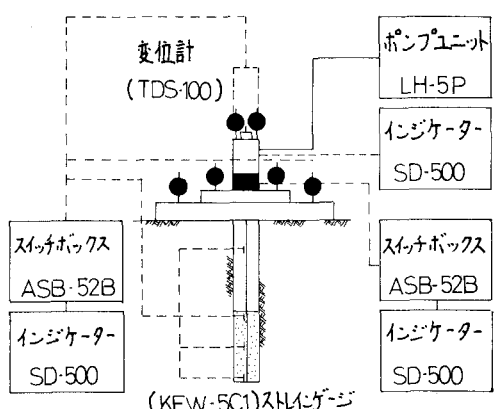


図-2. 計測システム

との間に明確なせん断面が徐々に広がりつつあることなどが考えられる。図-5は除荷過程における引張鋼材歪分布の一例であるが、アンカーボルト部の歪が自由長の歪を上回る現象を示している。このことは、引張られたアンカーボルト部が元に戻ろうとして地盤から載荷過程とは逆向きの拘束を受けるためであり、アンカーボルトと周辺地盤との間に相対変位が存在することを示している。この除荷時におけるアンカーボルト部歪が自由長の歪を上回る時の荷重は、各載荷サイクルの最大荷重が高くなる程高くなり、この事は荷重の増加に伴って相対変位を生じる領域が広がっていることを示している。図-6は、各載荷サイクルの最大荷重下における、アンカーボルト部引抜抵抗力の分布を示したものである。このような分布は過去にも多く発表されているが、特に注目する現象としてはG-No.1とG-No.2の間に抵抗が発生していることであり、この間では注入部の拘束もほとんど考えられないことから、砂質土地盤においてはアンカーボルト部土かぶりに起因する支圧的抵抗が存在するのではないかと考えられる。また、高い荷重下ではOstermayerが述べたような、時間の経過に伴う先端部への摩擦応力の移動も見られたが、それ程著しいものではなかった。

4. 結論 以上のことが次のことわかった。

- (1) アンカーボルトの変位は、引張鋼材自由長の弾性変形、アンカーボルト部及び周辺地盤とアンカーボルト部間の相対変位から成る。
- (2) 今回の条件下では35tfを境にして地盤の拘束状態が変化する。
- (3) 相対変位の領域は荷重レベルの増大に伴い増加する。
- (4) アンカーボルト上部土かぶりに起因すると思われる引抜抵抗力が存在する。

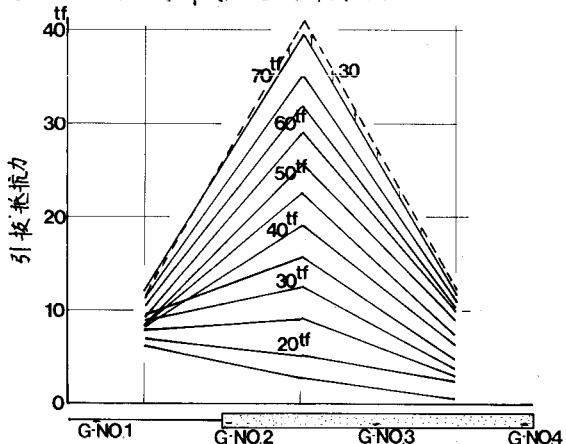


図-6. アンカーボルト部引抜抵抗力の分布

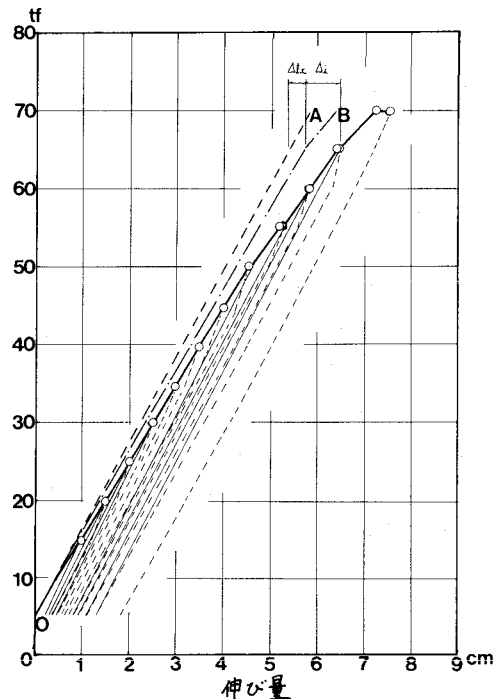


図-3. 引張荷重-アンカーボルト変位関係

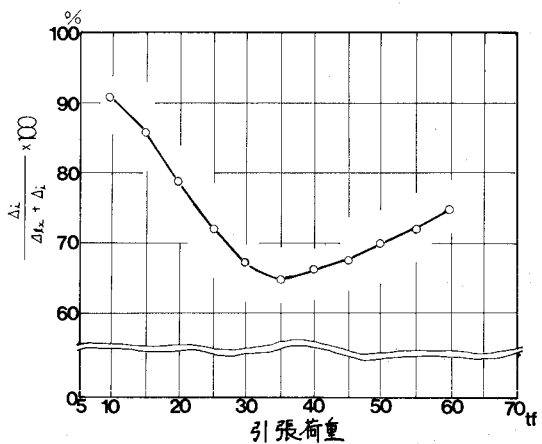


図-4. アンカーボルト拘束状況の変化

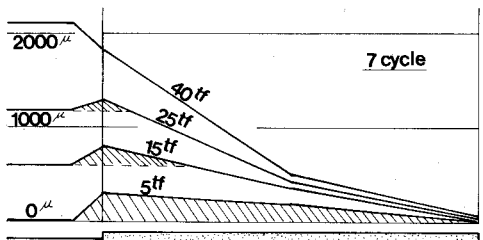


図-5. 除荷時の引張鋼材歪分布(第7サイクル)